

اثرات جنستین، مهار کننده تیروزین کیناز، در التهاب حاد و مزمن در موش های دیابتی

دکتر زهراء فاتحی حسن آباد، مصطفی جعفرزاده، دکتر محمد فاتحی

بخش فیزیولوژی و فارماکولوژی، دانشکده پزشکی، دانشگاه علوم پزشکی مشهد

خلاصه

اثرات تیروزین کیناز بر التهاب حاد و مزمن در جریان دیابت هنوز به طور کامل مشخص نشده است. بنابراین هدف از این مطالعه، بررسی اثرات جنستین، یک مهار کننده پروتئین های تیروزین کیناز بر روند التهاب حاد و مزمن در موش های دیابتی می باشد. موشها تحت درمان با نرمال سالین (گروه کنترل، ۰/۱ میلی لیتر، داخل صفاقی، تعداد=۱۴۴) و یا استرپتوزوتوسین (گروه دیابتی، STZ ۲۰۰ میلی گرم به ازای کیلو گرم وزن موش، داخل صفاقی، تعداد=۱۴۴) قرار گرفتند. یک هفته پس از تزریق نرمال سالین یا استرپتوزوتوسین، التهاب حاد و مزمن به ترتیب با تزریق کارازین و کاشت ۲ دیسک پنهان ای (مورد استفاده در دندانپزشکی) ایجاد شد. ۹ موش از هر گروه (کنترل یا دیابت) قبل از تزریق کارازین و یا در روز ۵ پس از کاشت دیسک پنهان ای، جنستین (۱۰ میلی گرم به ازای کیلو گرم وزن موش، داخل صفاقی) و یا ایندومتاکسین (۲ میلی گرم به ازای وزن موش، داخل صفاقی) و یا L-NAM (۰/۱ میلی گرم به ازای وزن موش، داخل صفاقی) دریافت گردند.

میزان ادم ایجاد شده در پای موش و وزن دیسک های پنهان ای به طور قابل توجهی در گروه حیوانات دیابتی افزایش یافته بود. درمان موشها با ایندومتاکسین و یا L-NAM التهاب حاد و مزمن را در موشها دیابتی به طور قابل ملاحظه ای کاهش داد. درمان موشها دیابتی با جنستین سبب کاهش التهاب مزمن به طور معناداری گردید ($P < 0.0001$). این نتایج پیشنهاد می کنند که فعل شدن تیروزین کینازها نیز چون پروستاگلاندین ها و مسیر ال آرژین - نیتریک اکساید در افزایش میزان التهاب مشاهده شده در حیوانات دیابتی نقش دارند.

کلمات کلیدی: التهاب، تیروزین کیناز، جنستین، دیابت.

مقدمه

گلوکز خون وجود ندارد. گزارش شده است که تورم ایجاد شده در پاسخ به تزریق دکستران و کارازین در کف پای رت های دیابتی کاهش یافته است (۸). همچنین نشان داده شده که در حیوانات دیابتی، پاسخ بستر عروقی مزانتر به میانجی های التهابی چون هیستامین و برادی کینین دچار نقص شده است (۷). در مطالعه دیگری نشان داده شده که تعداد لکوسیت های پلی مورفونوکلر (PMN) در ترشحات رت های دیابتی (نوع ۲) پس از تزریق داخل صفاقی کارازین شیوه به رت های کنترل می باشد (۴). از سوی دیگر، افزایش معناداری در میزان تولید سیتوکین ها در شروع دیابت در انسان گزارش شده است (۱۱، ۳).

سیتوکین های پیش التهابی مثل اینترلوکین ۱ و ۶ اثرات تحریکی در سنتر پروتئین های فاز حاد دارند (۵، ۱۴). این

جنستین (۴-۵ و ۷ تری هیدروکسی ایزو فلافونوئید)، یک ایزو فلافونوئید مشتق از سویا و مهار کننده پروتئین تیروزین کیناز می باشد. فسفریله شدن پروتئین ها در محل آسید آمینه تیروزین توسط پروتئین تیروزین کینازها نقش مهمی در تنظیم رشد و تقسیم سلولی و همچنین پدیده های سیگنالینگ سلولی در سیستم ایمنی دارند. افزایش فعالیت تیروزین کینازها در پاتوفیزیولوژی بسیاری از بیماری های التهابی نظیر پسوریازیس (۱) و شوک عفونی ثابت شده است (۶).

از طرف دیگر در جریان دیابت پاسخهای سلولی و عروقی دخیل در واکنش های التهابی در مقایسه با حیوانات کنترل تغییر پیدا کرده اما ارتباطی میان این تغییر و میزان

کاشت دیسک پنهای ای در موشها ایجاد شد (۴). حیوانات به طور تصادفی در ۸ گروه تجربی تقسیم شدند (جدول ۱). به طور خلاصه، تحت بیهوشی با کتامین (۶۵ میلی گرم به ازای کیلوگرم وزن موش، داخل صفاقی) و گزیلازین (۶/۵ میلی گرم به ازای کیلوگرم وزن موش، داخل صفاقی)، ۲ قطعه دیسک پنهای ای استریل شده (پنه دندانپیشکی) با وزن ۳۰ میلی گرم به صورت زیر جلدی در ناحیه کتف موش، یک عدد در هر سمت، کاشته شد (تعداد = ۱۴۴).

دیسک های پنهای ای در یک اوون در دمای ۱۲۱ درجه به مدت ۲۰ دقیقه استریل شدند. حیوانات در روز ۸ کشته شدند. بافت گرانولوم به همراه دیسک های پنهای ای در طی ۲۴ ساعت در دمای ۶۰ درجه خشک شده و وزن خشک آنها محاسبه گردید. وزن دیسک پنهای ای قبل از کاشت از وزن آن پس از خارج کردن از بدن حیوانات کسر گردید و مقادیر مشخص شد.

ادم ایجاد شده توسط تزریق کاراژین در پای موش (التهاب حاد): حیوانات به طور تصادفی به ۸ گروه تجربی تقسیم شدند (جدول ۲). التهاب حاد با تزریق زیرپوستی ۰/۰۵ میلی لیتر کاراژین یک درصد در کف پای عقبی موش ایجاد شد. حجم پای موش قبل و بعد از تزریق با روش پلتیسمومتری در دقایق ۶۰، ۱۵۰، ۳۰۰ و ۱۴۴۰ اندازه گیری شد. نتایج پس از کسر از حجم اولیه به صورت افزایش در حجم پا (به میلی لیتر) بیان شد.

داروهای: در این مطالعه داروهای زیر استفاده شد: Pharmacia & Upjohn Company, Rotexmedica, (Kalamazoo, USA N^G-nitro-L-arginine, Germany جنسین، کاراژین، dimethyl sulphoxide، methyl ester hydrochloride (DMSO) و گزیلازین که از شرکت سیگما خریداری شدند. همه محلولها به صورت تازه در نرمال سالین آماده شدند. همه داروهای به جز جنسین (که در دی متیل سولفوکساید حل شد) در آب مقطر حل شده و سپس با نرمال سالین رقیق شدند.

بررسی آماری داده ها: نتایج به صورت means \pm S.E.M. بیان شدند و با روش ANOVA یک طرفه و به دنبال آن

موضوع دارای اهمیت قابل توجهی است زیرا التهاب نقش مهمی در بیماری های دیابت و عوارض ناشی از آن دارد. همچنین ثابت شده است که غلظت بالای گلکوز به میزان قابل توجهی بیان مولکولهای چسبندگی اندوتیال مثل P-selectin، E-selectin، ICAM-1 و سطح سلولهای اندوتیال ورید نافی در انسان افزایش می دهد (۱۵). بنابراین انواع مختلف دیابت نتایج متفاوتی از اثرات دیابت بر پاسخهای التهابی را به وجود آورده است. در برخی مطالعات دیابت باعث کاهش این پاسخها شده است (۷، ۸)، برخی بدون تغییر (۴) و حال آنکه سایر مطالعات نشان داده اند که دیابت پاسخ های التهابی را افزایش داده است (۳، ۱۱، ۱۵). به هر حال ارتباط بین سه سیستم ال آرژنین نیتریک اکساید، پروستاگلاندین ها و تیروزین کینازها در پاسخهای التهابی در جریان دیابت مشخص نشده است.

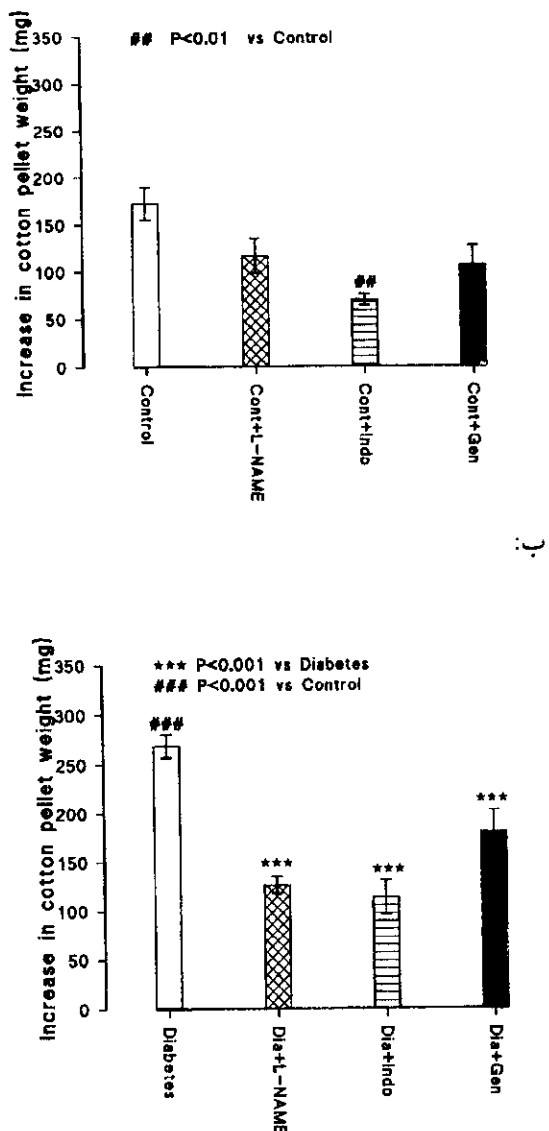
بنابراین هدف از مطالعه حاضر، بررسی اثرات جنسین، به عنوان یک مهار کننده تیروزین کیناز، بر روند التهاب حاد و مزمن در موشهای دیابتی شده با استرپتوزوتوسین می باشد. برای مقایسه اثرات جنسین در پاسخهای التهابی، ایندوماتاسین و N^G-nitro-L-arginine methyl ester hydrochloride (L-NAME) نیز استفاده شدند.

مواد و روش کار

حیوانات: موش های آلینو با وزن تقریبی ۲۵ تا ۳۰ گرم (اتاق حیوانات بیمارستان قائم، مشهد)، در این آزمایش استفاده شد. همه حیوانات تحت شرایط استاندارد و رژیم غذایی استاندارد بودند.

تحویه ایجاد دیابت: دیابت با تزریق داخل صفاقی استرپتوزوتوسین (STZ) به میزان ۲۰۰ میلی گرم به ازای هر کیلوگرم وزن حیوان که در ۰/۲ میلی لیتر نرمال سالین حل شده بود، ایجاد شد. موشهای کنترل نیز با همین روش تحت تزریق همان مقدار نرمال سالین قرار گرفتند. موشهای با سطح قند خون بالاتر از ۴۰۰ میلی گرم در دسی لیتر دیابتی در نظر گرفته شدند.

گرانولوم ایجاد شده با دیسک پنهای ای در موش (التهاب مزمن): التهاب مزمن به روش ایجاد گرانولوم با



شکل ۱: ا. الف. نشان دهنده میانگین \pm انحراف از میانگین در وزن دیسکهای پنهای ای در گروههای مختلف حیوانات کنترل می باشد. ب. نشان دهنده میانگین \pm انحراف از میانگین در وزن دیسکهای پنهای ای در گروههای مختلف حیوانات دیابتی می باشد. آزمون ANOVA یک طرفه نشان دهنده تفاوت معنی دار بین گروههای مورد مطالعه بود ($P < 0.001$). آزمون Tukey-kramer نشان دهنده تفاوت معنی دار بین گروههای دریافت کننده استرپتوزوتوسین در مقایسه با کنترل ($P < 0.001$) می باشد. جنسین و L-NAME اثر قابل ملاحظه ای در وزن دیسکهای پنهای ای در گروه کنترل نشان ندادند، در حالی که تفاوت آماری معنی داری بین گروههای دیابتی در مقایسه با گروههای دیابتی که جنسین و L-NAME دریافت نموده بودند، وجود داشت (***) $P < 0.001$ در مقایسه با گروه دیابت.

الف:

با استفاده از آزمون Tukey-Kramer multiple comparison test (برای مقایسه حجم پای موش و وزن دیسک های پنهای ای در گروه های مختلف) آنالیز شدند. کمتر از 0.05 به عنوان معنی دار تلقی شد.

نتایج

دیابت و التهاب مزمن

در اثر تزریق استرپتوزوتوسین حیوانات دچار علائمی چون پرنوشی و پرادراری شدند. وزن گرانولوم ایجاد شده توسط دیسک پنهای ای (که معیاری برای التهاب مزمن می باشد)، به طور قابل توجهی در گروه دیابتی بیشتر از گروه کنترل بود (کنترل: 172 ± 17 میلی گرم، دیابتی: 268 ± 11 میلی گرم، $P < 0.001$ ، شکل ۱-ا).

درمان موشهای با جنسین (10 میلی گرم به ازای کیلوگرم وزن موش) اثر ضد التهابی غیر معناداری را در گروه کنترل نشان داد، اما در گروه دیابتی اثر ضد التهابی معناداری ثبت شد (جنسین + دیابت: 180 ± 9 میلی گرم، $P < 0.001$ در مقایسه با گروه دیابتی، شکل ۱). اثرات ضدالتهابی جنسین قابل مقایسه با اثرات L-NAME (1 /۱ میلی گرم به ازای کیلوگرم وزن موش، داخل صفاقی) و تا حدودی کمتر از اثرات ایندومتاکسین (2 میلی گرم به ازای کیلوگرم وزن موش، داخل صفاقی) می باشد.

دیابت و التهاب حاد

یک هفته پس از تجویز داخل صفاقی نرمال سالین یا استرپتوزوتوسین (200 میلی گرم به ازای کیلوگرم وزن موش)، کاراژنین تزریق شد. ادم ایجاد شده توسط تزریق کاراژنین در کف پای موشهای دیابتی به میزان قابل توجهی در تمامی زمانها بیشتر از گروه سالم بود (جدول ۳).

درمان موشهای دیابتی با ایندومتاکسین (2 میلی گرم به ازای کیلوگرم وزن موش) یا L-NAME (1 /۱ میلی گرم به ازای کیلوگرم وزن موش) قبل از تزریق کاراژنین، به میزان قابل توجهی حجم ادم را در موشهای دیابتی کاهش داد ولی تزریق جنسین به موشهای دیابتی (10 میلی گرم به ازای کیلوگرم وزن موش) تغییری را در میزان ادم باعث نشد (جدول ۳).

جدول ۱: گروههای تجربی در التهاب مزمن.

گروههای تجربی در التهاب مزمن.	تعداد	درمان
کنترل	n=9	۰/۲ میلی لیتر نرمال سالین، داخل صفاقی
کنترل + جنستین	n=9	۰/۲ میلی لیتر نرمال سالین، داخل صفاقی + ۱۰ میلی گرم به ازای کیلوگرم وزن موش جنستین، داخل صفاقی در روز ۵ پس از کاشت دیسک پنه ای
کنترل + ایندومتاپین	n=9	۰/۲ میلی لیتر نرمال سالین، داخل صفاقی + ۲ میلی گرم به ازای کیلوگرم وزن موش ایندومتاپین در روز ۵ پس از کاشت دیسک پنه ای، داخل صفاقی
L-NAME	n=9	۰/۲ میلی لیتر نرمال سالین، داخل صفاقی + ۱/۱ میلی گرم به ازای کیلوگرم وزن موش L-NAME در روز ۵ پس از کاشت دیسک پنه ای، داخل صفاقی
دیابتی	n=9	۲۰۰ میلی گرم به ازای کیلوگرم وزن موش استرپتوزوتونین، داخل صفاقی
دیابتی + جنستین	n=9	۲۰۰ میلی گرم به ازای کیلوگرم وزن موش استرپتوزوتونین، داخل صفاقی + ۱۰ میلی گرم به ازای کیلوگرم وزن موش جنستین در روز ۵ پس از کاشت دیسک پنه ای، داخل صفاقی
دیابتی + ایندومتاپین	n=9	۲۰۰ میلی گرم به ازای کیلوگرم وزن موش استرپتوزوتونین، داخل صفاقی + ۲ میلی گرم به ازای کیلوگرم وزن موش ایندومتاپین در روز ۵ پس از کاشت دیسک پنه ای، داخل صفاقی
دیابتی + L-NAME	n=9	۲۰۰ میلی گرم به ازای کیلوگرم وزن موش L-NAME در روز ۵ پس از کاشت دیسک پنه ای، داخل صفاقی

جدول ۲: گروههای تجربی در التهاب حاد.

گروههای تجربی در التهاب حاد	تعداد	درمان
کنترل	n=9	۰/۲ میلی لیتر نرمال سالین، داخل صفاقی
کنترل + جنستین	n=9	۰/۲ میلی لیتر نرمال سالین، داخل صفاقی + ۱۰ میلی گرم به ازای کیلوگرم وزن موش جنستین، ۲ ساعت قبل از تزریق کاراژین، داخل صفاقی
کنترل + ایندومتاپین	n=9	۰/۲ میلی لیتر نرمال سالین، داخل صفاقی + ۲ میلی گرم به ازای کیلوگرم وزن موش ایندومتاپین، ۳۰ دقیقه قبل از تزریق کاراژین، داخل صفاقی
L-NAME	n=9	۰/۲ میلی لیتر نرمال سالین، داخل صفاقی + ۱/۱ میلی گرم به ازای کیلوگرم وزن موش L-NAME، ۳۰ دقیقه قبل از تزریق کاراژین، داخل صفاقی
دیابتی	n=9	۲۰۰ میلی گرم به ازای کیلوگرم وزن موش استرپتوزوتونین، داخل صفاقی
دیابتی + جنستین	n=9	۲۰۰ میلی گرم به ازای کیلوگرم وزن موش استرپتوزوتونین، داخل صفاقی + ۱۰ میلی گرم به ازای کیلوگرم وزن موش جنستین، ۲ ساعت قبل از تزریق کاراژین، داخل صفاقی
دیابتی + ایندومتاپین	n=9	۲۰۰ میلی گرم به ازای کیلوگرم وزن موش ایندومتاپین، داخل صفاقی + ۲ میلی گرم به ازای کیلوگرم وزن موش ایندومتاپین، ۳۰ دقیقه قبل از تزریق کاراژین، داخل صفاقی
L-NAME	n=9	۰/۲ میلی گرم به ازای کیلوگرم وزن موش L-NAME، ۳۰ دقیقه قبل از تزریق کاراژین، داخل صفاقی

جدول ۳: میزان افزایش در حجم پای موش پس از تزریق کاراژنین در گروههای مختلف مورد آزمایش. * P کمتر از ۰/۰۵ و ** P کمتر از ۰/۰۱ و *** P کمتر از ۰/۰۰۱ در مقایسه با گروه کنترل و # P کمتر از ۰/۰۵ در مقایسه با گروه دیابت را نشان می‌دهد.

زمان (دقیقه)	کنترل	دیابتی	دیابتی L-NAME	دیابتی + کنترل	دیابتی ایندومتاسین	دیابتی + کنترل	دیابتی + کنترل	دیابتی + کنترل	دیابتی + جستین
۰	۰/۰۰	۰/۰۰	۰/۰۰	۰/۰۰	۰/۰۰	۰/۰۰	۰/۰۰	۰/۰۰	۰/۰۰
۶۰	۷/۸±۰/۸	۱۲±۱/۲**	۸±۲/۸	۱۰±۱/۴	۸/۳±۱/۵#	۸/۱±۱/۲#	۶/۳±۱/۳	۱۰/۶±۱/۶	۱۰/۰
۱۵۰	۸/۱±۱/۳	۱۵/۶±۱/۶***	۵/۷±۱/۹	۹/۳±۱/۸#	۹/۹±۱/۵#	۴/۱±۱/۱*	۹/۷±۲/۴	۹/۷±۱/۹	۹/۷±۱/۹
۳۰۰	۱۳±۱/۷	۲۱±۰/۹***	۱۱±۱/۱	۱۲±۱/۳#	۱۲±۰/۸#	۱۳±۱/۸	۱۳±۲/۲	۱۷±۱/۹	۱۷±۱/۹
۱۴۴۰	۱۹/۳±۱/۲	۲۶±۲**	۱۶±۱/۷	۱۴±۰/۹#	۱۴±۱/۱#	۱۴/۸±۱/۴	۱۴/۸±۱/۴	۱۰/۶±۱/۶	۱۰/۰

بحث

پاتوفیزیولوژی التهاب حاد نقش مهمی قائل شده اند (۱۶، ۱۷، ۱۸) . به نظر نمی‌رسد که عدم تاثیر L-NAME در فاز اولیه التهاب به خاطر دوز و یا روش تزریق آن باشد زیرا که قبل از نشان داده شده است که این میزان L-NAME به طور معنی داری التهاب را در رت‌های با شوک عفونی کاهش داده است (۶). یک توضیح احتمالی برای این اتفاق می‌تواند نقش مهمتر سایر میانجی‌ها در فاز اولیه التهاب حاد نسبت به نیتریک اسید باشد. در موشهای دیابتی مهار تیروزین کیناز با استفاده از جستین نتوانست حجم پای موش را کاهش دهد. تجویز جستین ۲ ساعت پیش از ایجاد شوک سپتیک نتوانست به طور معنی داری میزان التهاب سیستمیک را در موشهای دچار شوک عفونی کاهش دهد (۶). بنابراین به نظر می‌رسد که آزاد شدن میانجی‌های مختلف به دنبال تزریق کاراژنین در گروه کنترل و دیابتی از طریق فعلی شدن تیروزین کینازها نمی‌باشد. اگرچه جستین نتوانست التهاب حاد را در موشهای دیابتی کاهش دهد، ولی باعث کاهش معنی داری در التهاب مزمن ایجاد شده (توسط دیسک های پنهان ای) در موشهای دیابتی شد. گرانولوم التهابی یک ویژگی بارز و تبیک واکنشهای التهاب مزمن می‌باشد (۱۲) و وزن خشک دیسک پنهان ای معیار مناسبی برای میزان بافت گرانولوماتوز می‌باشد. برای مقایسه اثرات ضد التهابی جستین، ایندومتاسین یک مهار کننده سنتز پروستاگلاندین‌ها، و L-NAME، یک مهار کننده سنتز نیتریک اسید، استفاده شدند. همانطور که نشان داده شد، اثرات جستین در کاهش التهاب قابل مقایسه با L-NAME و کمتر از ایندومتاسین می‌باشد. با توجه به دانسته‌های ما، این مشاهدات برای اولین بار شواهدی مبنی بر نقش مهم تیروزین

نتایج مطالعه بیانگر این مطلب می‌باشد که تزریق STZ به موش باعث افزایش واضحی در سطح قند پلاسمای موش می‌شود که تایید کننده مطالعات دیگران است (۱۳، ۲). ارتباط میان میانجی‌های مختلف التهابی مثل C-reactive protein، فاکتور نکروز دهنده تومور آلفا و اینترلوکین ۶ و سندروم های متابولیکی مثل دیابت نیز قبل از نشان داده شده است (۱۰). در مطالعه حاضر ما نشان دادیم که پاسخهای التهابی در جواب به تزریق کاراژنین (تزریق به پای موش) و کاشتن دیسک پنهان ای به طور معنی داری در حیوانات دیابتی افزایش یافته است. میانجی‌های التهابی که در پاسخ به کاراژنین (تزریق به پای موش) در مقایسه با میانجی‌های که در پاسخ به کاشتن دیسک پنهان ای ایجاد می‌گردند، متفاوت می‌باشد. تشکیل ادم در پاسخ به کاراژنین در موش یک روند دو فازی می‌باشد (۲۰، ۲۱)، فاز سریع (۱ تا ۲ ساعت) به علت آزاد شدن هیستامین، سرتونین و افزایش سنتز پروستاگلاندین (PG) در اطراف بافت‌های آسیب دیده می‌باشد در حالی که فاز تاخیری اساساً به علت حضور برادری کینین، لکوتربین‌ها، سلولهای پلی مورفونوکلئر و پروستاگلاندین‌های تولید شده در ماکروفائزهای بافتی می‌باشد. تجویز ایندومتاسین به حیوانات دیابتی به طور معنی داری حجم پای موش را در تمامی زمانهای انسازه گیری شده کاهش داد، در حالی که L-NAME باعث کاهش غیر معنی دار در ۶۰ دقیقه پس از تزریق کاراژنین و کاهش معنی دار در سایر بازه‌های زمانی شد (جدول ۱). مطالعات گذشته نشان داده اند که مهار کننده های نیتریک اسید سنتز باعث کاهش میزان التهاب حاد ناشی از تزریق کاراژنین شده و در نتیجه برای نیتریک اسید در

11. Hussain M. J., Peakman M., Gallati H., Lo S. S., Hawa M., Viberti G. C., Wakins P. J., Leslie R. D., Vergani D., 1996, Elevated serum levels of macrophage-derived cytokines precede and accompany the onset of IDDM, *Diabetologia*, 39: 60-69.
12. Ismail T. S., Gapalakrisan S., Begum V. H., Elango V., 1997, Anti-inflammatory activity of *Salacia oblonga* Wall and *Azima tetracantha* Lam, *J. of Ethnopharmacol.*, 56: 145-152.
13. Kamei J., Saitoh A., 1996, Role of spleen or spleen products in the reduced locomotor-enhancing effect of morphine in diabetic mice, *Neuroscience Letters*, 210: 57-60.
14. Kushner I., 1993, Regulation of acute phase response by cytokines, *Perspect. Biol. Med.*, 36: 611-622.
15. Omi H., Okayama N., Shimizu M., Okouchi M., Ito S., Fukutomi T., 2002, Participation of high glucose concentration in neutrophil adhesion and surface expression of adhesion molecules on cultured human endothelial cells Effect of antidiabetic medicines, *J. Diabetes and its Complication*, 16: 201-208.
16. Salvemini D., Wang Z. Q., Wyatt P., Bourdon D. M., Marino M. H., Manning P. T., Currie M. G., 1996, Nitric oxide: a key mediator in the early and late phase of carrageenan-induced rat paw inflammation, *Br. J. Pharmacol.*, 118: 829-838.
17. Swingle K. F., Shideman F. E., 1972, Phases of inflammatory response to subcutaneous implantation of cotton pellet and other modifications by certain anti-inflammatory agents, *J. Pharmacol. Exp. Thera.*, 183: 226-234.
18. Tomlinson A., Appleton I., Moore A. R., Gilroy D. W., Willis D., Mitchell J. A., Willoughby D. A., 1994, Cyclooxygenase and nitric oxide synthase isoforms in rat carrageenan-induced pleurisy, *Br. J. Pharmacol.*, 113: 693-8.
19. Tracey W. R., Nakane M., Kuk J., Budzik G., Klinghofer V., Harris R., Carter G., 1995, The nitric oxide synthase inhibitor, L-NG-monomethylarginine, reduces carrageenan-induced pleurisy in the rat, *J. Pharmacol. Exp. Thera.*, 273: 1295-1299.
20. Vinegar R., Schreiber W., Hugo R., 1969, Biphasic development of carrageenan oedema in rats, *J. Pharmacol. Exp. Thera.*, 166: 96-103.
21. Vinegar R., Truax J. F., Seiph J. H., Johnsstone P. R., Venable A. L., McKenzie K. K., 1987, Pathway to carrageenan-induced inflammation of the hind limb of the rat, *Federation Proceedings*, 6: 118-126.

کینازها در روند التهاب مزمن در حیوانات دیابتی در اختیار می گذارد. مطالعات بیشتر مورد نیاز است تا اثرات مفید مهار کننده های تیروزین کیناز را بر روی سایر مدل های التهاب (مثل ادم ایجاد شده در پای موش با فرمآلدئید) و سایر گونه های حیوانی مشخص نماید.

References

1. Ben-Bassat H., Levitzki A., 2000, Inhibitors of tyrosine kinases in the treatment of psoriasis, *IMAJ*, 2: 69-73.
2. Calcutt N. A., Li L., Yaksh T. L., Malmberg A. B., 1995, Different effects of two aldose reductase inhibitors on noiceptin and prostaglandin E, *European J. Pharmacol.* 285: 189-197.
3. Ciampolillo A., Guastamacchia E., Caragiulo L., Lollino G., De Robertis O., Latanzi V., Giorgino R., 1993, In vivo secretion of interleukin-1 beta and interferon-gamma by peripheral blood lymphomononuclear cells in diabetic patients, *Diabetes Res. Clin. Pract.*, 21: 87-93.
4. Cuman R. K. N., Bersani-Amado C. A., Fortes Z. B., 2001, Influence of type 2 diabetes on the inflammatory response in rats, *Inflamm. Res.*, 50: 460-465.
5. Dinarello C. A., 1991, Interleukin-1 and interleukin-1 antagonism, *Blood*, 77: 1627-1652.
6. Fatehi M., Anvari K., Fatehi-hassanabad Z., 2002, The beneficial effects of protein tyrosine kinase inhibititon on the circulatory failure induced by endotoxin in the rat, *Shock*, 18: 450-455.
7. Fortes Z. B., Garcia-Leme J., Scivoletto R., 1983, Influence of diabetes on the reactivity of mesenteric microvessels to histamine, bradykinin and acetylcholine, *Br. J. Pharmacol.*, 78: 39-48.
8. Garcia Leme J., Hamamura L., Migliorini R. H., Leite M. P., 1973, Influence of diabetes upon the inflammatory response of the rat. A pharmacological analysis, *Eur. J. Pharmacol.*, 23: 74-81.
9. Goldstein S., Shemano I., Demes R., Beilier J. M., 1976, Cotton pellet granuloma method for evaluation of anti-inflammatory activity, *Archive of International Pharmacodynamics and Therapeutics*, 165: 294-301.
10. Han T. S., Sattar N., Williams K., Gonzalez-Villapando C., Lean M. E. J., Haffner S. M., 2002, Prospective study of c-reactive protein in relation to the development of diabetes and metabolic syndrome in the Mexico city diabetes study, *Diabetes Care*, 25: 2016-2021.